

МАГНИТНОЕ ПОЛЕ КАТУШКИ ФАРАДЕЕВСКОГО МОДУЛЯТОРА

B. A. Прозоров

Получена зависимость амплитуды и фазы продольного магнитного поля в фарадеевском модуляторе от его параметров и от частоты тока в катушке. Выведено соотношение, связывающее мощность, потребляемую модулятором, с его параметрами, магнитным полем и частотой тока в катушке.

The dependence is obtained of the amplitude and phase of the longitudinal magnetic field in the Faraday modulator on its parameters and on the current frequency in the modulator coil. A relation is derived between the input power of the modulator and its parameters, magnetic field, and current frequency in the coil.

Ферритовые модуляторы, основанные на фарадеевском вращении плоскости поляризации в продольном магнитном поле, находят широкое применение в радиометрах сантиметрового диапазона. Такой модулятор представляет собой отрезок круглого волновода, внутри которого установлен ферритовый стержень [1]. Снаружи на волновод надета катушка. Волновод обычно изготовлен из медной или латунной трубы и является в данном случае короткозамкнутым витком в переменном магнитном поле. При питании катушки переменным током магнитное поле, действующее на ферритовый стержень, возбуждается током в катушке и током, текущим по замкнутой окружности в стенках волновода.

Для оценки поля, намагничивающего ферритовый стержень, воспользуемся выражением для бесконечного соленоида [2]. В этом случае поле внутри соленоида однородно и равно

$$H = i, \quad (1)$$

где i — плотность тока на единицу длины соленоида; влиянием феррита на картину магнитного поля пренебрегаем;

$$i = i_1 + i_2, \quad (2)$$

здесь i_1 — плотность тока в соленоиде, обусловленная током в катушке, i_2 — плотность тока в соленоиде, обусловленная током в короткозамкнутом витке.

Пусть катушка модулятора питается синусоидальным током. Напишем уравнение Кирхгоффа для короткозамкнутого витка, индуктивно связанного с катушкой

$$0 = I_2(R_2 + j\omega L_2) + j\omega M I_1, \quad (3)$$

где I_1 — амплитудное значение тока в катушке, I_2 — амплитудное значение тока в «витке», R_2 — сопротивление «витка», L_2 — индуктивность «витка», M — взаимная индуктивность, ω — угловая частота тока в катушке, j — мнимая единица. Из (3) имеем

$$I_2 = -\omega M / (\omega L_2 - jR_2) \cdot I_1. \quad (4)$$

Если обозначить число витков катушки — N и длину катушки — d , то

$$i_1 = I_1 N/d, \quad i_2 = I_2/d. \quad (5)$$

Из (1), (2), (4) и (5) получим значение магнитного поля в модуляторе

$$H = I_1/d \cdot [N - \omega M / (\omega L_2 - jR_2)]. \quad (6)$$

Вычислим L_2 и M при допущении, что потоки рассеяния отсутствуют:

$$M = \sqrt{L_1 L_2}, \quad L_2 = L_1/N^2, \quad M = L_1/N; \quad (7)$$

здесь L_1 — индуктивность катушки. Сопротивление R_2 легко рассчитывается. Пусть D — средний диаметр трубы волновода, t — толщина стенки волновода, ρ — удельное сопротивление материала трубы, тогда

$$R_2 = \rho \pi D / dt. \quad (8)$$

Скин-эффект не учитывается, что справедливо для звуковых частот.

Из (6), (7) и (8) имеем

$$H = H_0 (1 + j\omega L_1 / N^2 R^2)^{-1}, \quad (9)$$

где $H_0 = I_1 N/d$ — магнитное поле в отсутствии короткозамкнутого витка.

Из выражения (9) следует, что с возрастанием частоты тока в катушке амплитуда продольного магнитного поля в модуляторе уменьшается и поле отстает от тока в катушке по фазе. Стало быть, и амплитуда огибающей высокочастотного сигнала, прошедшего через модулятор, будет спадать и огибающая будет отставать по фазе от тока в катушке.

На рис. 1 приведены расчетная (сплошная кривая) и полученная экспериментально (кружки) зависимости разности фаз огибающей и тока в катушке модулятора трехсантиметрового диапазона от частоты тока в катушке. Параметры модулятора: $\rho = 4 \cdot 10^{-8}$ ом·м (латунь),

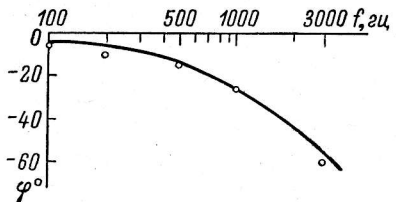


Рис. 1. Зависимость разности фаз φ огибающей высокочастотного сигнала от частоты тока f в катушке модулятора.

$D=24$ мм, $d=90$ мм, $t=0.5$ мм, $N=1800$, $L_1=20$ мГн. Разность фаз измерялась методом фигур Лиссажу. Измерения произведены с помощью установки, блок-схема которой показана на рис. 2.

Вычислим мощность, которая рассеивается модулятором:

$$P = (|I_1|^2 R_1 + |I_2|^2 R_2)/2. \quad (10)$$

Используя формулы (4), (7) и (9), получим

$$\begin{aligned} P &= |H|^2 d^2 / 2N^2 \cdot (1 + \omega^2 L_1^2 / N^4 R_2^2) [R_1 + \omega^2 L_1^2 N^{-2} R_2 / (\omega^2 L_1^2 N^{-4} + R_2^2)] = \\ &= P_0 [1 + \omega^2 L_1^2 / N^4 R_2^2 \cdot (1 + N^2 R_2 R_1^{-1})], \quad (11) \\ P_0 &= |H|^2 d^2 R_1 / 2N^2. \end{aligned}$$

P_0 есть мощность, рассеиваемая модулятором при питании его постоянным током. Так как R_1 приблизительно пропорционально N , то $P_0 \sim 1/N$, а $N^2 R_2 / R_1 \sim N$. Следовательно, увеличение числа витков дает выигрыш в мощности, рассеиваемой модулятором, однако с увеличением частоты этот выигрыш уменьшается.

Л и т е р а т у р а

1. А. Ф. Харвей. Техника сверхвысоких частот. Изд-во «Советское радио», 1965.
2. И. Е. Тамм. Основы теории электричества. ГИТГЛ, 1956.

Декабрь 1971 г.

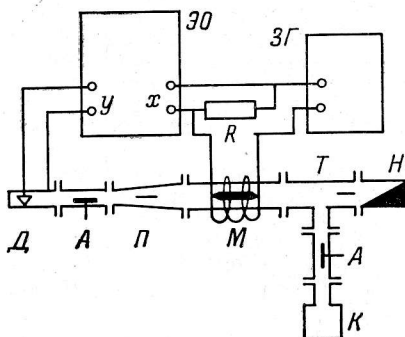


Рис. 2. Блок-схема установки для измерения разности фаз.

ЭО — электронный осциллограф, ЗГ — звуковой генератор, R — активное сопротивление, Δ — волновой детектор, A — аттенюатор, P — переход с круглого волновода на прямоугольный, M — модулятор, T — волноводный тройник, H — согласованная нагрузка, K — кристаллон.